

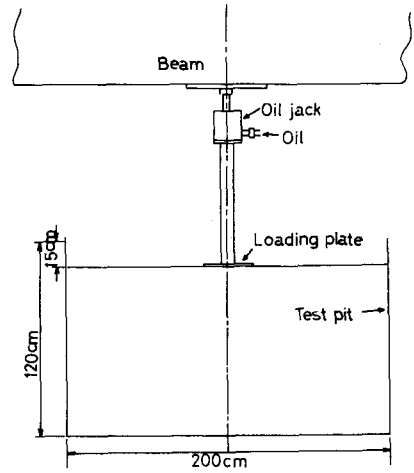
京都大学工学部 正員 赤井浩一
 電力中央研究所 正員 塩見 哲

1. 概説

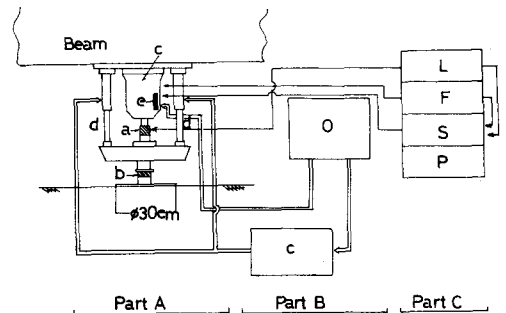
路床・路盤構造体内の応力分布を調べるために大型の土槽を用いる模型実験を行った。構造体の機能上、対象とした条件は通常の静的荷重のほか、動的荷重による地盤内応力の特性、載荷速度と応力の割合、支持荷重と応力の割合、荷重波形と応力の割合などを調べた。

2. 実験装置と方法

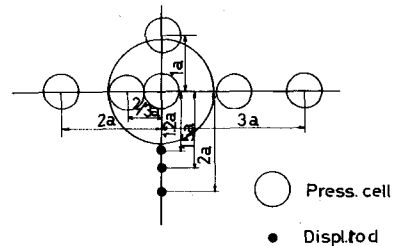
使用した大型土槽は縦横2m、高さ1.2mの鋼製で、土槽内には底から1.05mまで土を入れた。路床・路盤の模型となる土には砂、砂質ロームそれぞれ一層系と上層が砂(厚さ30cm)、下層が砂質ロームの二層系の3種を用いた。載荷板は半径 $a = 15\text{cm}$ の鋼製の剛性載荷板と木袋を用いたたわみ性載荷板の2種である。1図-1は静的載荷試験、1図-2は動的載荷試験の装置の概要を示す。1図-2においてAは荷重発生部であって、a:製鋼用ロードセル、b:計測用ロードセル、c:動荷重シリンダー、d:支持荷重シリンダー、e:サーボバルブを示す。またBは動力部であって、O:油圧源、C:支持圧力保持装置である。またCは制御部であって、L:荷重増幅器、F:測数発生器、S:サーボアンプ、P:圧力源制御装置である。動的載荷装置は電子油圧式の起振機を主体とし、静的支持荷重の容量は2ton、振動荷重は $\pm 500\text{kg}$ 、ピストンストロークは10cmである。土中に埋設した土圧計は容量が 1kg/cm^2 のものと 2kg/cm^2 のもの2種であって、深度は $0.5a$ 、 $1a$ 、 $2a$ および $3a$ のおのおのである。これ等の深さにはまた沈下測定棒も設置され、載荷板の変位はダイヤルゲージで測られた(1図-3参照)。



1図-1



1図-2



1図-3

静的載荷試験では油圧ジャッキにより荷重を段階的にかけ、最大平均接地圧は 1.14 kg/cm^2 とした。1段階の増加荷重は 0.10 kg/cm^2 であって、最大荷重到達後は 0.20 kg/cm^2 ずつの段階状除荷を行なった。

一方、動的載荷試験では荷重は断面形状と $q = q_s + q_d \sin 2n\pi t$ で表わされる正弦波荷重を使用した。そして支持荷重 q_s を3段階 (0.45 kg/cm^2 , 0.66 kg/cm^2 , 0.88 kg/cm^2) に変化させ、動的振幅は $q_d = 0.21 \text{ kg/cm}^2$ を、振動数は $n = 0.5, 1, 5 \text{ cps}$ の3種を用いた。なお矩形波においては、振動数は 1 cps のみで実験を行なった。また載荷板は剛性のものだけを用いた。

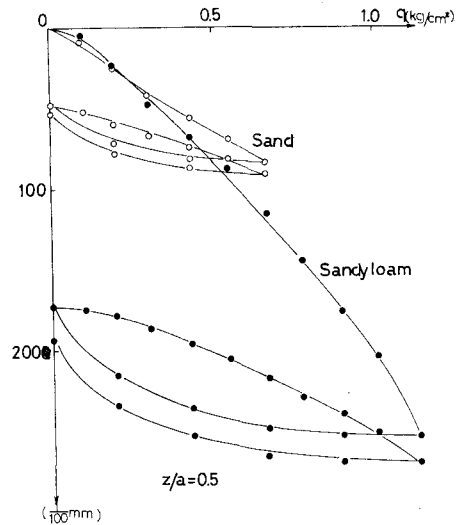


図-4

3. 静的載荷実験の結果と考察

図-4は砂および砂質ロームのおのおの一層系に対する $z = 0.5a$ の深さでの荷重-変位曲線を示す。この場合、載荷板周囲外の砂は、たとえ荷重が増加していても荷重分担率はいくらも増加せず、載荷板直下の土力にのみ増加がみられる。すなわち荷重増加に伴う土力集中度の減少は荷重分担領域の増加に伴うものではなく、部分的な締固りのために周辺部の砂の荷重分担率が増加したものと考えられる。

図-5は砂または砂質ロームの一層系と、この両者による二層構造体内の静的鉛直土力分布を、たわみ性および剛性載荷板のそれぞれについて比較して示したものである。この図を含めて以下では地盤内土力はすべて上載荷重 q との比が無次元化して示す。この図から、砂質ローム地盤では弾性論による理論値(実線)と比べて土力がいちじるしく載荷板直下に集中すること、剛性載荷板を用いた場合二層系内の土力は砂と砂質ローム各一層系の中を直とるが、たわみ性載荷板では3種の場合とも地盤内土力に大差は無いことがわかる。結局地表に近いところでは、土力分布は土質よりむしろ載荷板の剛性に左右されるが、深所では土質の影響のほうが大きくなるものといえる。

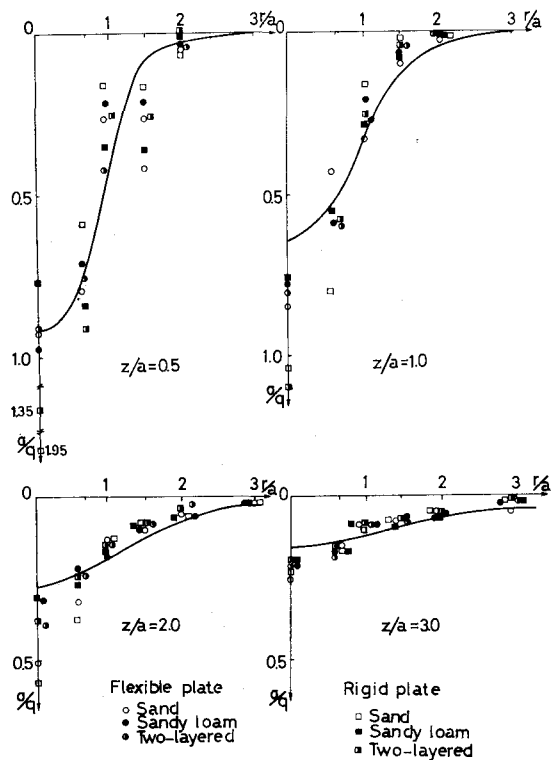


図-5

4. 動的載荷実験の結果と考察

図-6 (a)~(c)は $n = 1 \text{ cps}$ の振動数をもつ正弦波荷重に対して、 $z = 0.5a$ の深さでの鉛直応力 σ_z/q の水平方向分布を砂層、砂質ローム層および二層系のそれぞれについて示したものである。各構造体とも支持荷重の影響があるのみならず $z = 1.0a$ の深さまでであった。

まず砂層構造体については、図-6 (a)から支持荷重の増加とともに $r = 0$ (載荷板中心直下) では地盤内応力が減少し、 $r = 2/3 \cdot a$ では逆に数分増加する傾向がみられる。これは載荷板下の砂の締固まりによって粒子間摩擦が増大したためと考えられる。次に砂質ローム層構造体では、図-6 (b)から支持荷重の増加とともに $r = 0, 2/3 \cdot a$ で応力が減少している。これはせん断抵抗の動員されず静載荷が広がったことによるものであろう。また二層構造体については、図-6 (c)から支持荷重 $q_s = 0.45 \sim 0.66 \text{ kg/cm}^2$ 程度ではほとんど応力が変化せず、 $q_s = 0.88 \text{ kg/cm}^2$ になって載荷板下のすべての位置で地盤内応力が大きく出ている。これは球形をもつ下層と剛性載荷板との間に砂層が挟まれたことによる一種のサンドウィッチ効果であろう。

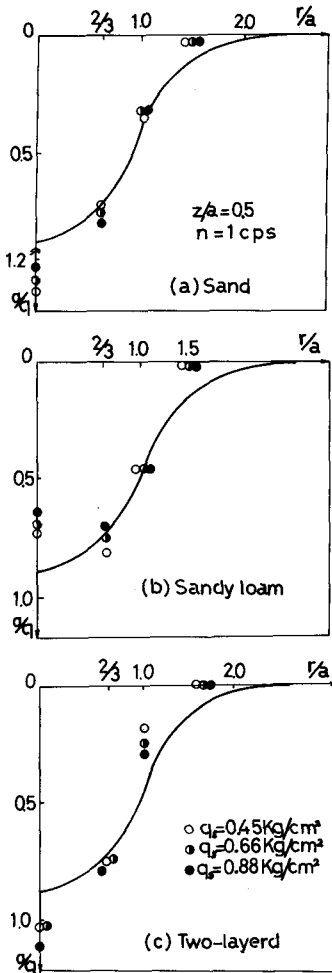


図-6

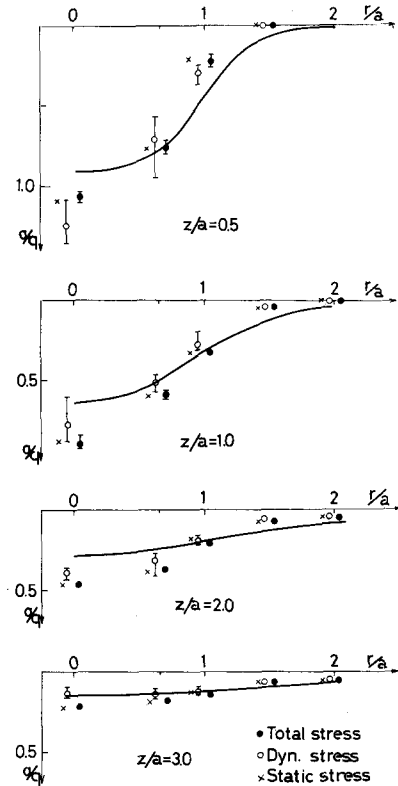


図-7

次に二層系地盤について静的応力、動的応力およびこれらの合成応力の比較を行なう。図-7は地盤内各深度における三者の応力分布を示すが、この図から動的応力の散らばりは深度の小さいところで大きいこと、 $z = 0.5a$ の深さを除いて合成応力は静的応力にはほぼ等しいか、少し小さい値を示すことが知られる。

最後にやはり二層系について、地盤内での応力におよぼす振動数と振動の型の影響を調べることとする。二層系地盤に動的な荷重を与えると、二層の境界面において透過する応力波のほか反射波が生じる。これらの波は縦波、横波、表面波からなり、したがって測定される応力値も一層系の場合とは当然異なるものが期待される。図-8は二層系地盤の各深度における応力を示しているが、これより次のことが言えるであろう。すなわち、さきの静的荷重実験からもわかるように、荷重板直下への応力の集中は $r=2a$ (境界面) 程度ではそれほど大きくなく、この付近では下層の影響は比較的小さい。また下層に用いた砂質ロームは若干粘性を有し、かつこの層内の応力値自体が小さいので、下層は振動荷重に対して剛性層のようにふるまう。したがって全体として二層構造をみるとき、動的な荷重に対して剛性層上に層厚 $2a$ の砂層がある場合の状態と同様な結果となった。もし上層の厚さをさらに小さくすれば、これとは異なる応力分布となることが予想される。

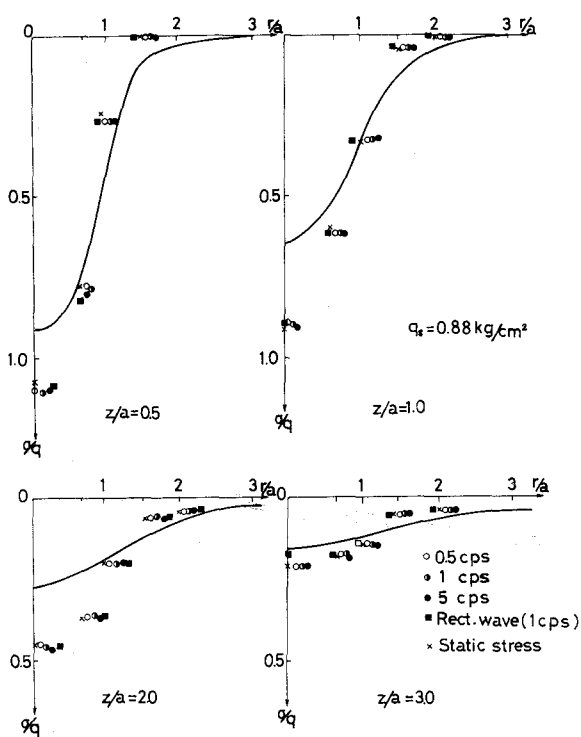


図-8

荷重波形が二層系地盤内の応力分布に与える効果は図-8にみるように顕著ではない。ここで引用しているが、砂質ローム一層系において矩形波の場合、正弦波と比べて荷重板の中心軸上で応力が大きく、 $r=2/3a$ では逆に小さくなっているのと対照的である。

深さによる地盤内応力の減少の様子を図-9に示されている。与えられた荷重は正弦波と矩形波の両者であるが、前者の場合には地盤内応力がピークに達するまで若干の上り傾向を要したが、一方後者は瞬時的にピークに達した。図には荷重波形の影響をみるだけの目的で、振動数としては1 cpsをとっている。この図から地盤内応力が深さとともに指数的に減少していることが知られる。

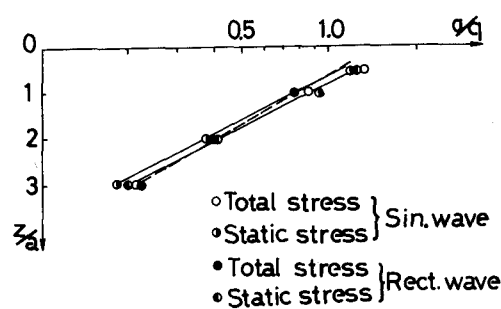


図-9

この研究には、昭和43年度文部省科学研究費(試験研究)の交付を受けた。また実験には学部学生米田光明君(現南海電鉄KK土木部)の助力を得た。さうして一部土圧計の製作と検定にたいして名古屋大学工学部市原松平教授・桂下協助教授の指導と助言をいただいた。いずれも切實に謝意を表すものである。